

流  
体  
力  
学  
问  
题  
论  
文  
集

COLLECTED WORKS ON THE PROBLEMS  
OF FLUID MECHANICS

VOLUME III

## CONTENTS

- Метод характеристик для трехмерного нестационарного течения газа. Брун  
Г., Хаак В., Механика, **3** (1959), 3—17. ..... ( 1 )
- Характеристики общих уравнений газовой динамики. Русанов В. В., ЖВММФ,  
**3** (1963), 508—527. ..... ( 16 )
- The Numerical Solution of Hyperbolic Systems of Partial Differential Equations  
in Three independent Variables. Butler D. S., Proc. Roy. Soc. **A255**  
(1960), 232—252. ..... ( 36 )
- Shock Fronts in Two-Dimensional Flow. Elliott L. A., Proc. Roy. Soc. **A267**  
(1962), 558—565. ..... ( 57 )
- Taylor Instability in Shock Acceleration of Compressible Fluids. Richtmyer R. D.,  
Comm. Pure Appl. Math., **13** (1960), 297—319. ..... ( 67 )
- Расчет взаимодействия нестационарных ударных волн с препятствиями. Русанов В. В., ЖВММФ, **1** (1961), 267—279. ..... ( 91 )
- Разностная схема для двумерных нестационарных задач газовой динамики и  
расчет обтекания с отошедшей ударной волной. Годунов С. К., Забродин  
А. В., Прокопов Г. П., ЖВММФ, **1** (1961), 1020—1050. ..... ( 104 )
- Разностные методы численного решения задач газовой динамики. Годунов С. К.,  
Семенджев К. А., ЖВММФ, **2** (1962), 3—14. ..... ( 135 )
- Об отражении сферической ударной волны от плоскости. Васильев М. М.,  
Вычислительная Математика, **6** (1960), 89—99. ..... ( 147 )
- Difference Methods and the Equations of Hydrodynamics. Noh W. F. & Protter  
M. H., J. Math. Mech., **12** (1963), 149—191. ..... ( 161 )
- Calcul de Detonations mono et Bidimensionnelles. Wilkins M. L., Les ondes de  
de detonation, (1962), 165—173. ..... ( 205 )
- Numerical Methods for Computing Two-Dimensional Unsteady Fluid Motion.  
Jones J. G. T., Computer. Bull., **6** (1963), 127. ..... ( 215 )
- Numerical Stability and Unsteady Shocks Waves. Richards P. I., SIAM Review,  
**2** (1960), 208—216. ..... ( 216 )
- Stability Criteria for Numerical Solutions in Unsteady Two-Dimensional Cylindrical  
Lagrangian Flow. Enig J. W., J. Math. & Phys., **XL** (1961), 23—32. .... ( 225 )
- Aerodynamics of Blasts.—Diffraction of Blast Around Finite Corners. Ludloff  
H. F. & Friedman M. B., JAS **22** (1955), 27—34. ..... ( 235 )
- Difference Solution of Shock Diffraction Problem. Ludloff H. F. & Friedman  
M. B., JAS **22** (1955), 139—140. ..... ( 243 )
- Calculation of Supersonic Flow Past an Axially Symmetric Cylinder. Evans M. W.  
& Harlow F. H., JAS **25** (1963), 269—278. ..... ( 245 )
- Calculation of Unsteady Supersonic Flow Past a Circular Cylinder. Evans M. W.  
& Harlow F. H., J. Amer. Rocket Soc., **29** (1959), 46—48. ..... ( 247 )

- Hydrodynamic Problems Involving Large Fluid Distortions. Harlow F. H., J.  
Assoc. Comp. Mach., **4** (1957), 137—142. .... (251)
- Two-Dimensional Hydrodynamic Calculations. Harlow F. H., Dickman D. O.,  
Harris D. E. Jr., Martin R. E., LA-2301 (1959), 1—97. .... (257)
- The Particle-and-Force Computing Method For Fluid Dynamics. Harlow F. H.,  
Meixner B. D., LAMS-2567 (1961), 1—48. .... (355)
- Stability of Difference Equations Selected Topics. Harlow F. H., LAMS-2452  
(1960), 1—39. .... (405)
- Methods of Differencing in Eulerian Hydrodynamics. Longley H. J., LAMS-2379  
(1960), 1—83. .... (445)
- A Numerical Method For Two-Dimensional Unsteady Fluid Flow. Goad W. B.,  
LAMS-2365 (1960), 1—21. .... (529)
- Lagrangian Hydrodynamic Computations and Molecular Models of Matter. Birk-  
hoff G., Lynch R. E., LA-2618 (1961), 1—57. .... (551)
- Application of Finite Difference Methods to Problems in Two-Dimensional Hyd-  
rodynamics. Grandy R., AD-256328 (1961), 1—28. .... (609)
- Practical Numerical Methods of Three-Dimensional Supersonic Flow. Sauer R.,  
AD-264817 (1961), 1—25. .... (641)

# МЕТОД ХАРАКТЕРИСТИК ДЛЯ ТРЕХМЕРНОГО НЕСТАЦИОНАРНОГО ТЕЧЕНИЯ ГАЗА<sup>1)</sup>

Г. Брун, В. Хаак

В последнее время начиная с 1945 г. нестационарное одномерное течение газа изучалось довольно подробно. Математическая задача сводилась к системе квазилинейных дифференциальных уравнений в частных производных первого порядка с двумя независимыми переменными: пространственной координатой  $x$  и временем  $t$ . Разыскивалось решение задачи с начальными условиями [4, 5, 9]. При исследовании стационарных течений газа также ограничивались в основном изучением таких случаев, которые математически можно свести к двум независимым переменным [2, 3, 8, 10, 11].

Ниже мы покажем, что метод построения приближенного решения, предложенный для двух независимых переменных, в известных случаях может быть применен к двумерным и трехмерным нестационарным течениям газа. Будут указаны основы метода решения задачи с начальными условиями, причем могут быть удовлетворены и соответствующие граничные условия. В качестве примера будут рассмотрены два нестационарных течения в сопле Лаваля: течение при наличии начального скачкообразного перепада давления и непрерывное течение.

При выводе необходимых дифференциальных уравнений из основных уравнений, записанных в векторной форме, используется соответствующая локальная система координат в каждой точке потока<sup>2)</sup>. При этом ясно выявляется связь с геометрией потока, что оказывается полезным для общего метода построения приближенного решения. Кроме того, из общих дифференциальных уравнений путем простой и наглядной специализации могут быть получены известные частные случаи для одномерного, цилиндрически симметричного и сферически симметричного потоков и т. д.

Настоящая статья опирается на теорию характеристик второго из соавторов для двумерных нестационарных потоков, доложенную в Цюрихе в 1950 г. и в Стокгольме в 1953 г. Распространение метода на трехмерный случай опирается на рукопись первого автора. Первый пример, который не мог быть опубликован из-за довольно грубой интерполяции, был сосчитан в дипломной работе Гейдриха в 1956 г. При расчете приведенных ниже примеров ценную помощь оказал Грюневальд.

## 1. Основные уравнения

Для течения идеального газа без трения с постоянной удельной теплоемкостью при надлежащих предположениях о дифференцируемости входящих функций имеют место следующие уравнения:

уравнение неразрывности

$$\frac{1}{\rho} \frac{d\rho}{dt} + \nabla \cdot \mathbf{v} = 0, \quad (1.1)$$

уравнение движения

$$\frac{d\mathbf{v}}{dt} + \frac{1}{\rho} \nabla p = \mathbf{F}, \quad (1.2)$$

уравнение сохранения энергии

$$\frac{dS}{dt} = 0. \quad (1.3)$$

<sup>1)</sup> Brünn G., Haack W., Ein Charakteristikenverfahren für dreidimensionale instationäre Gasströmungen, *Zeitschrift für angewandte Mathematik und Physik*, **9b**, № 5/6, 173—190 (1958).

<sup>2)</sup> Во время печатания этой статьи появилась работа [13], в которой аналогичный метод используется для стационарного течения газа. Для жидкости в этом направлении выполнены работы С. С. Бюшгенсом [14], [15].

Оператор  $d/dt$  означает субстанциональную производную, т. е.

$$\frac{d}{dt} = \frac{\partial}{\partial t} + \mathbf{v} \cdot \nabla.$$

Величины  $p$ ,  $\rho$  и  $S$  связаны соотношением

$$\rho = \rho(p, S) = \rho_0 \left( \frac{p}{p_0} \right)^{1/\kappa} e^{(S_0 - S)/c_p}, \quad (1.4)$$

где  $\rho_0$ ,  $p_0$ ,  $S_0$  — постоянные, характеризующие некоторые фиксированные состояния. Здесь введены следующие обозначения:  $\mathbf{r}$  — радиус-вектор точки,  $\mathbf{v}$  — вектор скорости частицы газа,  $\mathbf{F}$  — вектор внешней силы, отнесенный к единице массы газа,  $p$  — давление,  $\rho$  — плотность,  $S$  — энтропия единицы массы газа,  $t$  — время,  $c_p$  — удельная теплоемкость при постоянном давлении,  $\kappa = c_p/c_v$ . Наряду с  $\rho$ ,  $p$  и  $S$  мы будем использовать также скорость звука

$$a = \left[ \frac{\partial p(p, S)}{\partial p} \right]^{-\frac{1}{2}}. \quad (1.5)$$

Из (1.3) следует

$$\frac{dp}{dt} = \frac{\partial p}{\partial \rho} \frac{dp}{dt} + \frac{1}{\rho^2} \frac{dp}{dt},$$

тогда уравнение (1.1) принимает вид

$$\frac{1}{\rho a} \frac{dp}{dt} + a \nabla \cdot \mathbf{v} = 0. \quad (1.6)$$

## 2. Введение локальной системы координат

Для инвариантного описания потока каждой точке  $\mathbf{r}$  поставим в соответствие некоторую тройку единичных взаимно ортогональных векторов, таких, что  $\mathbf{n}_i = \mathbf{n}_i(\mathbf{r}, t)$ ,  $\mathbf{n}_i \cdot \mathbf{n}_k = \delta_{ik}$  ( $i, k = 1, 2, 3$ ). Тройка таких векторов и является локальной системой координат. Вектор  $\mathbf{n}_1$  можно направить по вектору скорости  $\mathbf{v}$

$$\mathbf{n}_1 \times \mathbf{v} = 0, \quad (2.1)$$

так что поле  $\mathbf{n}_1(\mathbf{r}, t)$  будет непрерывно дифференцируемым вместе с  $\mathbf{v}$  всюду, кроме особых точек, где  $\mathbf{v} = 0$ . Векторы  $\mathbf{n}_2$  и  $\mathbf{n}_3$ , которые должны составлять правую тройку с вектором  $\mathbf{n}_1$ , мы определим позже. Производную  $\mathbf{n}_i \cdot \nabla$  по направлению  $\mathbf{n}_i$  мы будем обозначать индексом  $(i)$ , так для функции  $\Phi$  введем обозначение  $\mathbf{n}_i \cdot \nabla \Phi = \Phi_{(i)}$ ;

пусть далее  $\mathbf{F} = \sum_{i=1}^3 F_i \mathbf{n}_i$ . Положим в соответствии с (2.1)

$$\mathbf{v} = w \mathbf{n}_1, \quad (2.2)$$

тогда уравнения (1.6) и (1.2) примут вид

$$\frac{1}{\rho a} \frac{dp}{dt} + aw_{(1)} + aw \nabla \cdot \mathbf{n}_1 = 0, \quad (2.3)$$

$$\mathbf{n}_1 \frac{dw}{dt} + w \frac{d \mathbf{n}_1}{dt} + \frac{1}{\rho} \nabla p = \mathbf{F}. \quad (2.4)$$

Чтобы разложить векторное уравнение (2.4) на три скалярных, рассмотрим траекторию  $\mathbf{r} = \mathbf{r}(t)$  какой-либо частицы<sup>1)</sup>. Вектор  $\mathbf{n}_1(\mathbf{r}(t), t)$  направлен по касательной,  $ds_1 = w dt$  — элемент дуги.

<sup>1)</sup> В нестационарном случае она отлична от мгновенной линии тока.

Для векторов подвижного трехгранника  $\mathbf{n}_1$ ,  $\mathbf{n}_2$ ,  $\mathbf{n}_3$  имеют место равенства

$$\frac{d\mathbf{n}_i}{ds_1} = \frac{1}{w} \frac{d\mathbf{n}_i}{dt} = \sum_{k=1}^3 \omega_{ik} \mathbf{n}_k \quad (i=1, 2, 3), \quad (2.5)$$

где  $\omega_{ik} + \omega_{ki} = 0$ . Поэтому уравнение (2.4) может быть заменено тремя скалярными уравнениями

$$\frac{dw}{dt} = F_1 - \frac{1}{\rho} p_{(1)}, \quad (2.6)$$

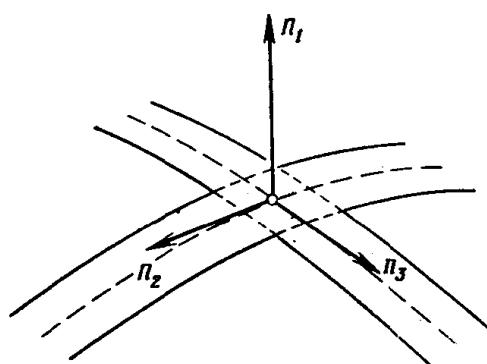
$$w^2 \omega_{12} = F_2 - \frac{1}{\rho} p_{(2)}, \quad (2.7)$$

$$w^2 \omega_{13} = F_3 - \frac{1}{\rho} p_{(3)}. \quad (2.8)$$

Эти уравнения легко могут быть истолкованы кинематически. На частицу действует внешняя сила  $\mathbf{F}$  и сила давления  $-\nabla p/\rho$  (на единицу массы). Уравнение (2.6) описывает тот факт, что компонента результирующей силы  $\mathbf{F} - \nabla p/\rho$  в направлении касательной к траектории  $\mathbf{n}_1$  порождает ускорение  $d\mathbf{w}/dt$  в этом же направлении. Так как  $\omega_{12}$  и  $\omega_{13}$  являются, как известно, кривизнами траектории, соответствующими направлениям нормалей  $\mathbf{n}_2$  и  $\mathbf{n}_3$ , то можно величины  $-w^2 \omega_{1i}$  истолковать как компоненты центральной силы. Тогда уравнения (2.7) и (2.8) можно истолковать как уравнения равновесия между центробежной силой и нормальной составляющей силы  $\mathbf{F} - \nabla p/\rho$ . Если, в частности, за  $\mathbf{n}_2$  принять единичный вектор главной нормали  $\mathbf{n}$ , а за  $\mathbf{n}_3$  — единичный вектор бинормали  $\mathbf{b}$ , то будет  $\omega_{13} = 0$  и получается такой результат: *сила  $\mathbf{F} - \nabla p/\rho$  всегда лежит в соприкасающейся плоскости траектории, т. е. в плоскости, содержащей векторы  $\mathbf{n}_1$  и  $\mathbf{n}_2$ .*

### 3. Геометрическое истолкование инварианта $\nabla \cdot \mathbf{n}_1$

В уравнение неразрывности (2.3) входит величина  $\nabla \cdot \mathbf{n}_1$ , которая зависит только от геометрии поля  $\mathbf{n}_1$ . Если поле  $\mathbf{n}_1$  обладает в некоторый момент времени  $t$  ортогональными поверхностями, то по изве-



Фиг. 1. Локальная система координат и полосы.

стной теореме (см. [6])  $\nabla \cdot \mathbf{n}_1$  равняется средней удвоенной кривизне ортогональной поверхности поля  $\mathbf{n}_1$ . Вообще говоря, может не существовать ни одной ортогональной поверхности. В качестве замены мы используем полосы вдоль интегральных кривых полей  $\mathbf{n}_2$  и  $\mathbf{n}_3$  с век-

тором  $\mathbf{n}_1$ , нормальным к ним. Оператор  $\nabla$  может быть разложен по ортогональному нормированному базису  $\mathbf{n}_i$ , т. е.

$$\nabla = \sum_{i=1}^3 \mathbf{n}_i (\mathbf{n}_i \cdot \nabla).$$

Так как

$$\mathbf{n}_i \cdot \nabla \mathbf{n}_1 = \mathbf{n}_{1(i)} \text{ и } \mathbf{n}_1 \cdot \mathbf{n}_{1(i)} = 0,$$

то

$$\nabla \cdot \mathbf{n}_1 = \sum_{i=1}^3 \mathbf{n}_i \cdot \mathbf{n}_{1(i)} = \mathbf{n}_2 \cdot \mathbf{n}_{1(2)} + \mathbf{n}_3 \cdot \mathbf{n}_{1(3)} = \frac{1}{r_2} + \frac{1}{r_3}. \quad (3.1)$$

При этом  $1/r_2 = \mathbf{n}_2 \cdot \mathbf{n}_{1(2)}$  и  $1/r_3 = \mathbf{n}_3 \cdot \mathbf{n}_{1(3)}$  являются нормальными кривизнами полос в рассматриваемой точке. Величина  $\frac{1}{2}\nabla \cdot \mathbf{n}_1$  является, таким образом, средним арифметическим нормальных кривизн ортогональных полос.

#### 4. Естественные уравнения

Если  $\mathbf{n}_2$  направить по главной нормали, а  $\mathbf{n}_3$  по бинормали к траектории, то  $\omega_{12} = 1/r_1$  будет равно кривизне траектории, а  $\omega_{13} = 0$ . Систему уравнений (1.3), (2.3) и (2.6) – (2.8) при таком выборе трехграниника можно переписать в виде

$$\frac{dS}{dt} = 0, \quad (4.1)$$

$$\frac{1}{\rho a} \frac{dp}{dt} = -aw_{(1)} - aw \left( \frac{1}{r_2} + \frac{1}{r_3} \right), \quad (4.2)$$

$$\frac{dw}{dt} = F_1 - \frac{1}{\rho} p_{(1)}, \quad (4.3)$$

$$\frac{w^2}{r_1} = F_2 - \frac{1}{\rho} p_{(2)}, \quad (4.4)$$

$$0 = F_3 - \frac{1}{\rho} p_{(3)}. \quad (4.5)$$

Эти пять уравнений представляют собой соотношения между геометрическими и физическими инвариантами потока. Поэтому мы будем называть их *естественными уравнениями потока*. При этом  $a$ , согласно (1.5), является функцией  $\rho$  и  $S$ .

Первые три уравнения описывают изменения во времени величин  $S$ ,  $\rho$  и  $w$  вдоль траектории. Четвертое уравнение дает кривизну траектории. Последнее уравнение устанавливает направление бинормали.

#### 5. Введение производных по характеристическим направлениям

Мы хотим по аналогии с тем, как это делалось в случае одномерного потока, взяв линейные комбинации уравнений (4.2) и (4.3), получить новые уравнения, в которых  $\rho$  и  $w$  подвергаются одинаковому пространственно-временному дифференцированию.

Если умножить уравнение (4.3) на  $\pm 1$  и прибавить к уравнению (4.2), то после введения сокращенных обозначений

$$\Phi_\alpha = \frac{d\Phi}{dt} + a\Phi_{(1)}, \quad \Phi_\beta = \frac{d\Phi}{dt} - a\Phi_{(1)}$$

получатся два уравнения

$$\frac{1}{\rho a} p_a + w_a = -aw \left( \frac{1}{r_2} + \frac{1}{r_3} \right) + F_1, \quad (5.1)$$

$$\frac{1}{\rho a} p_b - w_b = -aw \left( \frac{1}{r_2} + \frac{1}{r_3} \right) - F_1. \quad (5.2)$$

Соответствующие направления дифференцирования, которые мы назовем характеристическими, определяются в четырехмерном пространстве  $(\mathbf{r}, t)$  уравнениями

$$\alpha: d\mathbf{r} = (w + a) \mathbf{n}_1 dt, \quad \beta: d\mathbf{r} = (w - a) \mathbf{n}_1 dt. \quad (5.3)$$

Решения этих дифференциальных уравнений мы будем называть *главными характеристиками*. Присоединяя к уравнениям (5.1) и (5.2) уравнения (4.1), (4.4) и (4.5), получим полную систему.

## 6. Редукция числа направлений дифференцирования<sup>1)</sup>

Чтобы выяснить смысл направлений дифференцирования (5.3), напишем уравнения (2.3) и (2.6) — (2.8) как квазилинейную систему<sup>2)</sup> и исследуем, какие могут быть получены из них линейные комбинации, содержащие менее четырех направлений дифференцирования. Для этого выразим вектор  $\mathbf{n}_1$  в уравнениях (2.3) и (2.6) — (2.8) через скалярные функции. Вектор  $\mathbf{n}_1$  как единичный вектор в  $R_3$  может быть задан с помощью двух параметров  $u$ ,  $v$ , например широты и долготы на единичной сфере. Величины

$$\nabla \cdot \mathbf{n}_1 = \mathbf{n}_2 \cdot \mathbf{n}_{1(2)} + \mathbf{n}_3 \cdot \mathbf{n}_{1(3)}, \quad w\omega_{12} = \mathbf{n}_2 \cdot \frac{d\mathbf{n}_1}{dt}, \quad w\omega_{13} = \mathbf{n}_3 \cdot \frac{d\mathbf{n}_1}{dt}$$

[ср. (3.1) и (2.5)] могут быть поэтому представлены через производные по направлениям изменения параметров  $u$  и  $v$ . Применяя сокращенные обозначения

$$\mathbf{n}_2 \cdot \mathbf{n}_{1u} = A_u, \quad \mathbf{n}_2 \cdot \mathbf{n}_{1v} = A_v, \quad \mathbf{n}_3 \cdot \mathbf{n}_{1u} = B_u, \quad \mathbf{n}_3 \cdot \mathbf{n}_{1v} = B_v,$$

получим

$$\begin{aligned} \nabla \cdot \mathbf{n}_1 &= A_u u_{(2)} + B_u u_{(3)} + A_v v_{(2)} + B_v v_{(3)}, \\ w\omega_{12} &= A_u \frac{du}{dt} + A_v \frac{dv}{dt}, \quad w\omega_{13} = B_u \frac{du}{dt} + B_v \frac{dv}{dt} \end{aligned}$$

В результате приходим к системе

$$\frac{1}{\rho a} \frac{dp}{dt} + aw_{(1)} + aw(A_u u_{(2)} + B_u u_{(3)}) + aw(A_v v_{(2)} + B_v v_{(3)}) = 0, \quad (6.1)$$

$$\frac{1}{\rho} p_{(1)} + \frac{dw}{dt} = F_1, \quad (6.2)$$

$$\frac{1}{\rho} p_{(2)} + wA_u \frac{du}{dt} + wA_v \frac{dv}{dt} = F_2, \quad (6.3)$$

$$\frac{1}{\rho} p_{(3)} + wB_u \frac{du}{dt} + wB_v \frac{dv}{dt} = F_3. \quad (6.4)$$

Умножим эти уравнения соответственно на  $\lambda_1$ ,  $\lambda_2$ ,  $\lambda_3$ ,  $\lambda_4$  и сложим,

<sup>1)</sup> При первом чтении разд. 6—8 можно пропустить.

<sup>2)</sup> Уравнение (1.3) содержит одну лишь производную от  $S$  и поэтому не входит в рассмотрение линейных комбинаций.

при этом получатся следующие производные по направлениям от функций  $p$ ,  $w$ ,  $u$ ,  $v$ :

$$\left. \begin{array}{l} p: \lambda_1 \frac{d\Phi}{dt} + \lambda_2 a \Phi_{(1)} + \lambda_3 a \Phi_{(2)} + \lambda_4 a \Phi_{(3)}, \\ w: \lambda_2 \frac{d\Phi}{dt} + \lambda_2 a \Phi_{(1)}, \\ u: (\lambda_3 A_u + \lambda_4 B_u) \frac{d\Phi}{dt} + \lambda_1 a A_u \Phi_{(2)} + \lambda_1 a B_u \Phi_{(3)}, \\ v: (\lambda_3 A_v + \lambda_4 B_v) \frac{d\Phi}{dt} + \lambda_1 a A_v \Phi_{(2)} + \lambda_1 a B_v \Phi_{(3)}. \end{array} \right\} \quad (6.5)$$

Условием линейной зависимости этих четырех производных по направлениям является обращение в нуль определителя

$$\begin{vmatrix} \lambda_1 & \lambda_2 a & \lambda_3 a & \lambda_4 a \\ \lambda_2 & \lambda_1 a & 0 & 0 \\ \lambda_3 A_u + \lambda_4 B_u & 0 & \lambda_1 a A_u & \lambda_1 a B_u \\ \lambda_3 A_v + \lambda_4 B_v & 0 & \lambda_1 a A_v & \lambda_1 a B_v \end{vmatrix} = 0.$$

Раскрывая его, получим

$$a^3 (A_u B_v - A_v B_u) \lambda_1^2 (\lambda_1^2 - \lambda_2^2 - \lambda_3^2 - \lambda_4^2) = 0.$$

Так как всюду, кроме исключительных точек,  $a^3 (A_u B_v - A_v B_u) \neq 0$ , то мы приходим к двум уравнениям: либо

$$\lambda_1 = 0, \quad (6.6)$$

либо

$$\lambda_1^2 = \lambda_2^2 + \lambda_3^2 + \lambda_4^2. \quad (6.7)$$

## 7. Характеристический коноид

Случай  $\lambda_1 = 0$  приводит к произвольной линейной комбинации уравнений (6.2)–(6.4). Встречающиеся при этом производные по направлениям суть  $d/dt$  и некоторая произвольная линейная комбинация производных (1), (2), (3). Двумерные подпространства четырехмерного пространства  $(r, t)$ , натянутые на эти два направления, при всевозможных  $\lambda_2, \lambda_3, \lambda_4$  содержат направление субстанционального дифференцирования  $d/dt$ .

Вводя угловые величины  $\varphi$  и  $\psi$ , общее решение уравнения (6.7) можно записать в виде

$$\lambda_1 = 1, \quad \lambda_2 = \cos \varphi, \quad \lambda_3 = \sin \varphi \cos \psi, \quad \lambda_4 = \sin \varphi \sin \psi. \quad (7.1)$$

При этом четыре производные (6.5) могут быть получены как линейные комбинации трех производных по направлениям. Для этого мы используем производные по направлениям:

$$\left. \begin{array}{l} \Phi_{[1]} = \frac{d\Phi}{dt} \cos \varphi + a \Phi_{(1)}, \\ \Phi_{[2]} = \frac{d\Phi}{dt} \sin \varphi \cos \psi + a \Phi_{(2)}, \\ \Phi_{[3]} = \frac{d\Phi}{dt} \sin \varphi \sin \psi + a \Phi_{(3)}. \end{array} \right\} \quad (7.2)$$

Для каждой пары значений  $\varphi, \psi$  на них натянем на эти направления дифференцирования трехмерное подпространство четырехмерного пространства  $(r, t)$ . При переменных  $\varphi$  и  $\psi$  соответствующие подпространства огибаются некоторой гиперповерхностью. Если ее уравнением является  $H(r, t) = 0$ , то тогда должно быть

$$H_{[1]} = H_{[2]} = H_{[3]} = 0$$

или

$$\begin{aligned} aH_{(1)} &= -\frac{dH}{dt} \cos \varphi, & aH_{(2)} &= -\frac{dH}{dt} \sin \varphi \cos \psi, \\ aH_{(3)} &= -\frac{dH}{dt} \sin \varphi \sin \psi. \end{aligned}$$

**Исключение**  $\varphi$  и  $\psi$  приводит к дифференциальному уравнению

$$\left(\frac{dH}{dt}\right)^2 - a^2(H_{(1)}^2 + H_{(2)}^2 + H_{(3)}^2) = 0. \quad (7.3)$$

Это — дифференциальное уравнение так называемого *характеристического коноида*.

Если полный дифференциал функции  $\Phi$  записать в виде

$$d\Phi = \frac{\partial \Phi}{\partial t} dt + \sum_{i=1}^3 \Phi_{(i)} \alpha_i$$

с дифференциальными формами  $\alpha_i$ , то, окаймляя дискриминант уравнения (7.3), получим для направлений  $dt : \alpha_1 : \alpha_2 : \alpha_3$  образующих характеристического коноида, бихарактеристик, соотношение

$$\begin{vmatrix} 1 & 0 & 0 & 0 & dt \\ 0 & -a^2 & 0 & 0 & \alpha_1 \\ 0 & 0 & -a^2 & 0 & \alpha_2 \\ 0 & 0 & 0 & -a^2 & \alpha_3 \\ dt & \alpha_1 & \alpha_2 & \alpha_3 & 0 \end{vmatrix} = 0,$$

или

$$\alpha_1^2 + \alpha_2^2 + \alpha_3^2 - a^2 dt^2 = 0. \quad (7.4)$$

Значит, первая из производных (6.5), если учесть (7.1), имеет направление одной из бихарактеристик, а именно

$$dt : \alpha_1 : \alpha_2 : \alpha_3 = \lambda_1 : a\lambda_2 : a\lambda_3 : a\lambda_4 = 1 : a \cos \varphi : a \sin \varphi \cos \psi : a \sin \varphi \sin \psi.$$

Тем самым для углов  $\varphi$  и  $\psi$  на характеристическом коноиде получается простое геометрическое истолкование.

## 8. Характеристические уравнения

Уравнение, образованное как линейная комбинация уравнений (6.1)–(6.4) с коэффициентами (7.1), будет

$$\begin{aligned} \frac{1}{\rho a} (p_{[1]} \cos \varphi + p_{[2]} \sin \varphi \cos \psi + p_{[3]} \sin \varphi \sin \psi) + w_{[1]} + \\ + w (A_u u_{[2]} + B_u u_{[3]}) + w (A_v v_{[2]} + B_v v_{[3]}) = \\ = F_1 \cos \varphi + F_2 \sin \varphi \cos \psi + F_3 \sin \varphi \sin \psi. \quad (8.1) \end{aligned}$$

Физический инвариант  $\rho$  в этом уравнении дифференцируется вдоль бихарактеристики. Среди бихарактеристик есть две исключительные, которые мы будем называть *главными характеристиками*. На них направления дифференцирования обоих физических инвариантов  $\rho$  и  $w$

совпадают<sup>1)</sup>. Условием для этого является, очевидно, в силу (8.1), равенство  $\sin \varphi = 0$  или равенства

$$\varphi = 0 \text{ или } \pi.$$

Положим для  $\varphi = 0$

$$\Phi_{(1)} = \frac{d\Phi}{dt} + a\Phi_{(1)} = \Phi_a$$

и для  $\varphi = \pi$

$$\Phi_{(1)} = - \left( \frac{d\Phi}{dt} - a\Phi_{(1)} \right) = -\Phi_\beta.$$

Если в (8.1) снова заменить величины  $u$  и  $v$  через геометрические инварианты, то получаются уравнения

$$\left. \begin{aligned} \frac{1}{\rho a} p_\alpha + w_\alpha &= -aw \left( \frac{1}{r_2} + \frac{1}{r_3} \right) + F_1, \\ \frac{1}{\rho a} p_\beta - w_\beta &= -aw \left( \frac{1}{r_2} + \frac{1}{r_3} \right) - F_1. \end{aligned} \right\} \quad (8.2)$$

Но это—уравнения, уже полученные ранее в разд. 5. Уравнения (5.3) являются дифференциальными уравнениями главных характеристик. Так как уравнения (8.2) получаются единственной комбинацией уравнений (6.1) и (6.2), то в случае  $\lambda_1 = 0$  нужно также положить  $\lambda_2 = 0$  и либо  $\lambda_3$ , либо  $\lambda_4$  взять равным 1, т. е. в качестве дальнейших уравнений взять сами уравнения (2.7) и (2.8). Далее к ним нужно еще присоединить уравнение сохранения энергии (1.3), а также соотношение (1.5) между  $a$ ,  $p$  и  $S$ . Нужно еще заметить, что  $n_2$  и  $n_3$  не направлены по главной нормали и бинормали, чтобы не нарушить квазилинейный характер системы (6.1)—(6.4). Для практических целей можно эту специализацию выбора  $n_2$  и  $n_3$  выполнить позже, чтобы вместо уравнений (2.7) и (2.8) получить уравнения (4.4) и (4.5).

Уравнения (5.1)—(5.3), полученные предварительно в разд. 5, получаются в разд. 6—8 как необходимые условия при редукции числа направлений дифференцирования<sup>2)</sup>. Направления дифференцирования  $\alpha$  и  $\beta$  получаются из инвариантности главных характеристик относительно преобразования независимых переменных.

## 9. Основы трехмерного метода характеристик

Вид уравнений (5.1) и (5.2) наводит на мысль о развитии трехмерного метода характеристик, позволяющего решать задачу с начальными условиями. Пусть состояние газа при  $t = t_0$  задано. Тогда с помощью уравнений (5.1), (5.2), (4.1), (4.4) и (4.5) можно вычислить состояние в момент  $t = t_0 + \Delta t$ .

Так как для представления пространственного потока нет никакого достаточно простого графического метода, решение нужно в основном проводить путем вычислений. Вследствие большого объема вычислений, состоящих главным образом из работы по интерполяции, годятся лишь электронные автоматические цифровые машины с программным управлением.

Мы ограничимся для примера вычислениями для одной точки потока;  $p$ ,  $w$ ,  $S$  и  $n_1$  предполагаются известными в момент  $t_0$  в узлах достаточно плотной сетки в пространстве.

<sup>1)</sup> Аналогичное требование для производных от  $u$  и  $v$  не имеет смысла, так как  $u$  и  $v$  не являются инвариантами.

<sup>2)</sup> Это совпадает с результатами общей теории многомерных дифференциальных уравнений гиперболического типа в работах [7] и [12].

1. Определение главной нормали  $\mathbf{n}_2$ , бинормали  $\mathbf{n}_3$  и  $F_2 = p_{(2)}/\rho$ . Конечно-разностным методом определяем вектор  $\mathbf{F} = \nabla p/\rho$ , затем имеем

$$F_1 - \frac{1}{\rho} p_{(1)} = \mathbf{n}_1 \cdot \left( \mathbf{F} - \frac{1}{\rho} \nabla p \right),$$

а в силу (4.5), имеем

$$\left( F_2 - \frac{1}{\rho} p_{(2)} \right) \mathbf{n}_2 = \left( \mathbf{F} - \frac{1}{\rho} \nabla p \right) - \left( F_1 - \frac{1}{\rho} p_{(1)} \right) \mathbf{n}_1,$$

откуда получаем

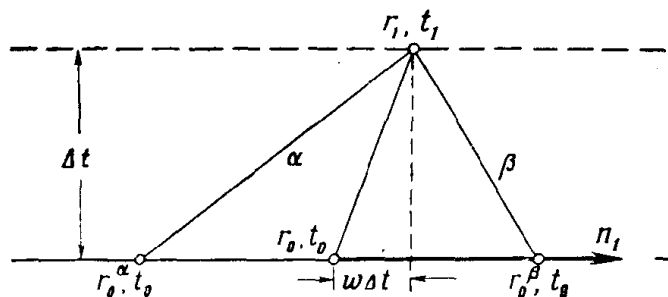
$$\begin{aligned} \mathbf{n}_2 &= \frac{\left( \mathbf{F} - \frac{1}{\rho} \nabla p \right) - \left( F_1 - \frac{1}{\rho} p_{(1)} \right) \mathbf{n}_1}{\left| \left( \mathbf{F} - \frac{1}{\rho} \nabla p \right) - \left( F_1 - \frac{1}{\rho} p_{(1)} \right) \mathbf{n}_1 \right|}, \\ \mathbf{n}_3 &= \mathbf{n}_1 \times \mathbf{n}_2, \\ F_2 - \frac{1}{\rho} p_{(2)} &= \mathbf{n}_2 \cdot \left( \mathbf{F} - \frac{1}{\rho} \nabla p \right). \end{aligned}$$

2. Вычисление геометрического инварианта  $1/r_2 + 1/r_3$ . Геометрический инвариант  $1/r_2 + 1/r_3$  вычисляется с помощью конечных разностей,

$$\frac{1}{r_2} + \frac{1}{r_3} = \mathbf{n}_2 \cdot \mathbf{n}_{1(2)} + \mathbf{n}_3 \mathbf{n}_{1(3)}.$$

3. Определение изменения положения частицы в пространстве. Частица, находящаяся в момент  $t_0$  в положении  $\mathbf{r}_0$ , в момент  $t_1 = t_0 + \Delta t$  находится в положении  $\mathbf{r}_1 = \mathbf{r}_0 + (w\mathbf{n}_1)_m \Delta t$ . За  $(w\mathbf{n}_1)_m$  можно при этом в первом приближении взять  $w\mathbf{n}_1$  в четырехмерной точке  $(\mathbf{r}_0, t_0)$ .

4. Вычисление  $p$  и  $w$  в точке  $(\mathbf{r}_1, t_1)$ . Пусть главные характеристики  $\alpha$  и  $\beta$ , проходящие через точку  $(\mathbf{r}_1, t_1)$ , проходят при  $t = t_0$  через точки, определяемые векторами  $\mathbf{r}_0^\alpha$  и  $\mathbf{r}_0^\beta$  (фиг. 2). Тогда уравнение



Фиг. 2. К методу характеристик.

ния (5.1) и (5.2) можно интегрировать приближенно:

$$\begin{aligned} \left( \frac{1}{\rho a} \right)_{m_\alpha} [p(\mathbf{r}_1, t_1) - p(\mathbf{r}_0^\alpha, t_0)] + w(\mathbf{r}_1, t_1) - w(\mathbf{r}_0^\alpha, t_0) &= \\ &= - \left( \frac{\alpha w}{r_2} + \frac{\alpha w}{r_3} - F_1 \right)_{m_\alpha} \Delta t, \\ \left( \frac{1}{\rho a} \right)_{m_\beta} [p(\mathbf{r}_1, t_1) - p(\mathbf{r}_0^\beta, t_0)] - w(\mathbf{r}_1, t_1) + w(\mathbf{r}_0^\beta, t_0) &= \\ &= - \left( \frac{\beta w}{r_2} + \frac{\beta w}{r_3} + F_1 \right)_{m_\beta} \Delta t. \end{aligned}$$

При этом в силу того, что

$$\mathbf{r}_1 \approx \mathbf{r}_0 + w\mathbf{n}_1 \Delta t,$$

согласно (5.3), имеем

$$\mathbf{r}_0^a \approx \mathbf{r}_0 - a\mathbf{n}_1 \Delta t, \quad \mathbf{r}_0^b \approx \mathbf{r}_0 + a\mathbf{n}_1 \Delta t.$$

Средние вдоль главных характеристик значения, обозначенные индексами  $a$  и  $b$ , в первом приближении заменяются значениями в четырехмерных точках  $(\mathbf{r}_0^a, t_0)$  и  $(\mathbf{r}_0^b, t_0)$ . Таким путем разностные уравнения, написанные выше, превращаются в линейную систему для определения величин  $p(\mathbf{r}_1, t_1)$  и  $w(\mathbf{r}_1, t_1)$ .

5. Вычисление  $S(\mathbf{r}_1, t_1)$ . В силу (4.1) получаем

$$S(\mathbf{r}_1, t_1) = S(\mathbf{r}_0, t_0).$$

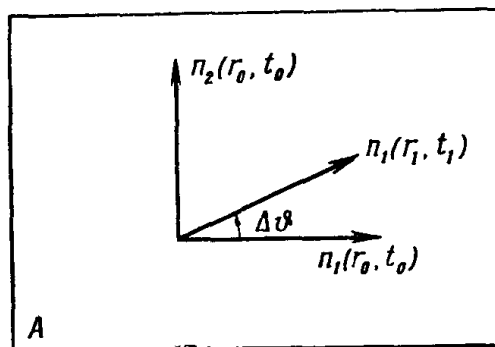
6. Определение  $\mathbf{n}_1(\mathbf{r}_0, t_1)$ . Мы имеем

$$\mathbf{n}_1(\mathbf{r}_1, t_1) = \mathbf{n}_1(\mathbf{r}_0, t_0) + \left( \frac{d\mathbf{n}_1}{dt} \right)_m \Delta t.$$

Этот вектор приближенно лежит в соприкасающейся плоскости, содержащей векторы  $\mathbf{n}_1(\mathbf{r}_0, t_0)$  и  $\mathbf{n}_2(\mathbf{r}_0, t_0)$  траектории, проведенной в точке  $(\mathbf{r}_0, t_0)$ . Поэтому, согласно (2.5) и (2.7), угол между векторами  $\mathbf{n}_1(\mathbf{r}_0, t_0)$  и  $\mathbf{n}_1(\mathbf{r}_1, t_1)$  равен

$$\Delta\vartheta = \left( \mathbf{n}_2 \cdot \frac{d\mathbf{n}_1}{dt} \right)_m \Delta t = \frac{1}{w_m} \left( F_2 - \frac{1}{\rho} p_{(2)} \right)_m \Delta t.$$

При этом в случае малых скоростей в первом приближении вместо среднего значения  $w_m = \frac{1}{2} (w(\mathbf{r}_0, t_0) + w(\mathbf{r}_1, t_1))$  и  $(F_2 - p_{(2)}/\rho)_m$  берут значения в точке  $(\mathbf{r}_0, t_0)$ , но лучше всего использовать среднее значение по области влияния точки  $(\mathbf{r}_1, t_1)$  (т. е. по трехмерному шару с центром в точке  $\mathbf{r}_0$  и радиусом  $a\Delta t$ ; фиг. 3).



Фиг. 3. Вращение вектора  $\mathbf{n}_1$  в соприкасающейся плоскости.  
A — соприкасающаяся плоскость.

Этим состояние в точке  $(\mathbf{r}_1, t_1)$  полностью определено. Вычисления могут быть улучшены за счет измельчения шага  $\Delta t$  или еще эффективнее улучшены применением итерации.

Описанный метод позволяет удовлетворить также граничным условиям. Если, например, газ должен двигаться вдоль фиксированной поверхности, то в граничных точках в качестве  $\mathbf{n}_2$  целесообразно брать вектор нормали к этой поверхности. Уравнение (2.7) дает тогда, согласно разд. 6, вращение вектора  $\mathbf{n}_1$  в касательной плоскости. Уравнение (2.8), которое описывает поворот вектора  $\mathbf{n}_1$  из касательной плоскости, заменяется граничным условием, состоящим в том, что

вектор  $\mathbf{n}_1$  должен постоянно оставаться в касательной плоскости к обтекаемой поверхности. Аналогично нужно поступать и в случае движущихся поверхностей.

## 10. Метод характеристик в случае двумерного потока

Если ограничиться двумерным потоком, то в простейших случаях метод характеристик осуществим и без автоматических электронных цифровых машин, так как число узлов сетки меньше и в каждый момент времени  $t$  поток может быть представлен графически в плоскости картиной линий тока. Однако по-прежнему большой труд составляют необходимые интерполяции.

Исследуем значение некоторых величин, характеризующих поток, в двумерном случае. Вектор бинормали  $\mathbf{n}_3$  постоянен и перпендикулярен плоскости потока. Поэтому п. 1 в вычислительном процессе отпадает. В силу равенства

$$\frac{1}{r_3} = \mathbf{n}_3 \cdot \mathbf{n}_{1(3)} = -\mathbf{n}_1 \cdot \mathbf{n}_{3(3)}$$

кручение  $1/r_3$  обращается в нуль, величина  $1/r_2$  является кривизной ортогональных траекторий поля  $\mathbf{n}_1$ . Так как соприкасающиеся плоскости совпадают с плоскостью потока, то изменения угла  $\Delta\vartheta$  вектора  $\mathbf{n}_1$  интегрируемы<sup>1)</sup>. Угол  $\vartheta$  может рассматриваться как угол между  $\mathbf{n}_1$  и некоторым фиксированным направлением в плоскости потока. Производная (2) теперь является производной в направлении траектории, ортогональной к линиям тока.

Дифференциальные уравнения двумерного потока в характеристической форме будут следующие:

$$\frac{1}{\rho a} p_\alpha + w_\alpha = -\frac{aw}{r_2} + F_1, \quad (10.1)$$

$$\frac{1}{\rho a} p_\beta - w_\beta = -\frac{aw}{r_2} - F_1, \quad (10.2)$$

$$\frac{dS}{dt} = 0, \quad (10.3)$$

$$w \frac{d\vartheta}{dt} = F_2 - \frac{1}{\rho} p_{(2)}. \quad (10.4)$$

Уравнения (10.1) – (10.3) формально совпадают с уравнениями цилиндрически симметричного потока с расстоянием  $r_2$  от центра. К ним прибавляется уравнение (10.4), которое описывает, каким образом поток вращением плоскости, касательной к траектории, реагирует на действие сил и, в частности, стремится выравнять имеющийся перепад давления.

## 11. Примеры плоских нестационарных потоков

В качестве примера рассмотрим поток через сопло Лаваля при отсутствии внешних сил,  $\mathbf{F} = 0$ . К соплу примыкает канал с параллельными стенками, отделенный от сопла плоскостью при  $t < 0$ , мгновенно исчезающей при  $t = 0$  (фиг. 4). По обе стороны плоскости разделя при  $t \leq 0$  находится одинаковый газ ( $\kappa = 1,4$ ) с  $w_0 = 0$ ,  $S_0 = 0$ . Адиабатическое откачивание создает давление  $p_1$  в канале; давление  $p_0$  в сопле, такое, что  $p_1 = p_0/119$ , так что при исчезновении плоскости раздела в сопле побежит волна разрежения. Отношение давлений  $p_0/p_1$  так велико, что при  $t > 0$  на месте плоскости раздела

<sup>1)</sup> То есть  $\mathbf{n}_2 \cdot d\mathbf{n}_1$  является полным дифференциалом.

течение мгновенно заменяется потоком сверхзвуковой скорости. Этим гарантируется, что поток в канале не станет оказывать обратного влияния на сопло. Таким образом, для расчета потока в сопле значение характеристик потока в канале не требуется.

Для определения возникающего потока газа используется процесс, описанный в разд. 9, с шагом  $\Delta t = 1$ . Кроме упрощений, указанных в разд. 10, целесообразны некоторые модификации в соответствии с особенностями примера. Как известно, для изэнтропических потоков имеет место соотношение

$$\frac{1}{\rho a} dp = \frac{2}{x-1} da.$$

При этом система (10.1) — (10.4) заменяется системой

$$\left( \frac{2}{x-1} a + w \right)_a = - \frac{aw}{r_2}, \quad (11.1)$$

$$\left( \frac{2}{x-1} a - w \right)_b = - \frac{aw}{r_2}, \quad (11.2)$$

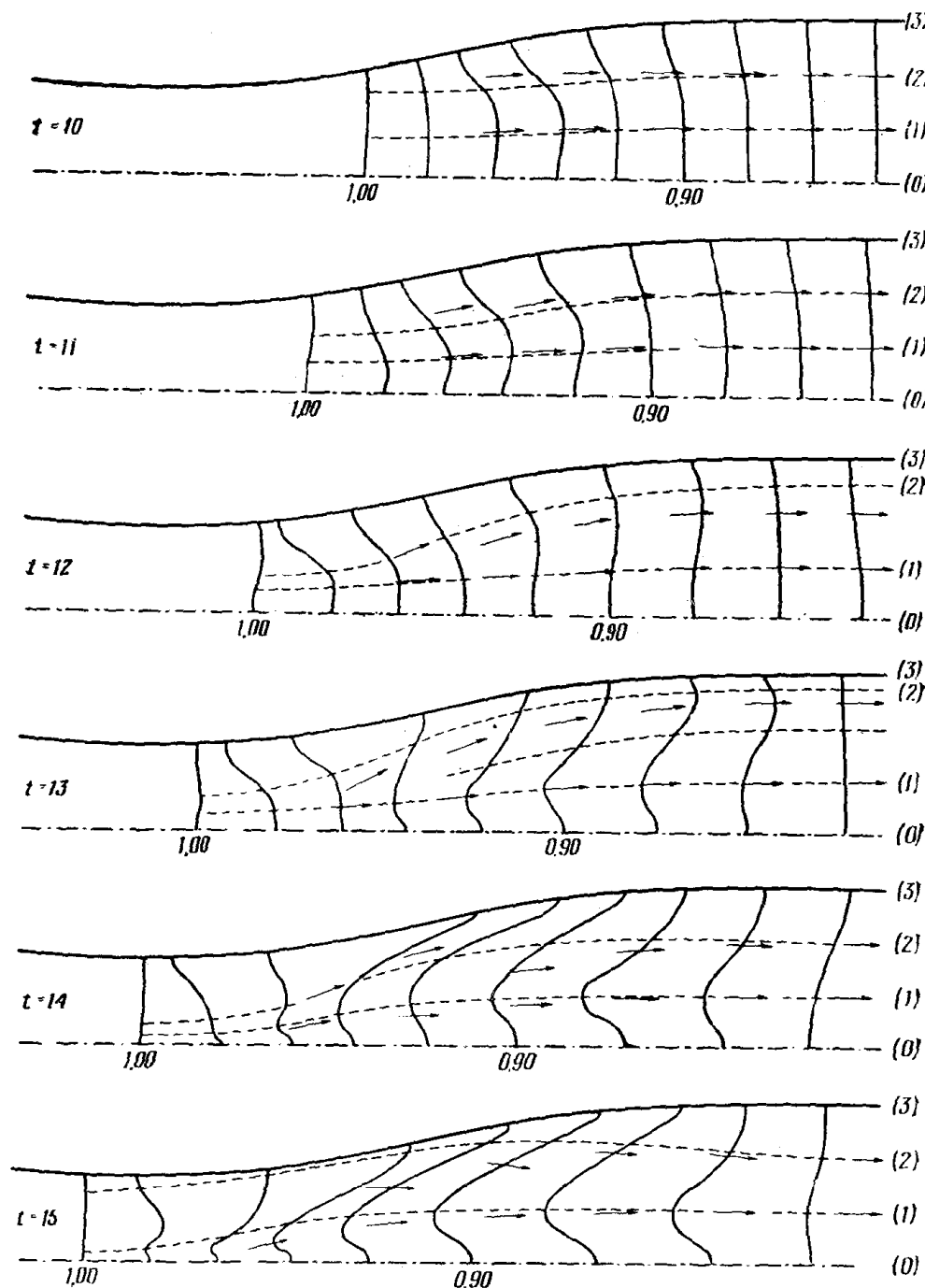
$$\frac{d\theta}{dt} = - \frac{2}{x-1} \frac{a}{w} a_{(2)}. \quad (11.3)$$



Фиг. 4. Сопло Лаваля.  
A — разделяющая плоскость.

Исходные точки  $r_0$ ,  $r_0^x$  и  $r_0^y$  берутся на каждой из четырех линий тока, а именно на фиксированных линиях (0) и (3) и на двух линиях, заключенных между ними и меняющихся со временем (фиг. 5). Это приводит к тому, что на отдельных полосах вдоль линий тока для решения уравнений (11.1) и (11.2) можно применять каждый из обычных одномерных методов характеристик (фиг. 6а и 6б). Но в противоположность одномерным потокам эти полосы нестационарных линий тока (1) и (2) не могут быть соединены в одну поверхность. Более того, после того как, согласно (11.3) (см. разд. 9, п. 6), найдено изменение вектора  $n_1$  вдоль старой линии тока, нужно в получающемся поле направлений нарисовать новые линии тока, чтобы получить базисные линии ближайших следующих полос. На фиг. 5 нанесены найденные для моментов  $10, \dots, 15$  значения единичного вектора  $n_1$ , имеющего направление скорости, и соответствующие линии тока. Фиг. 6а содержит полосы соответствующих линий тока (2) для моментов времени  $11, \dots, 14$  с характеристиками, принадлежащими уравнениям (11.1) и (11.2). При этом речь идет о трех отдельных полосах, которые лишь нарисованы одна за другой. В противоположность этому на фиг. 6б полосы, соответствующие линии тока (3) вдоль стенки, составляют связную поверхность.

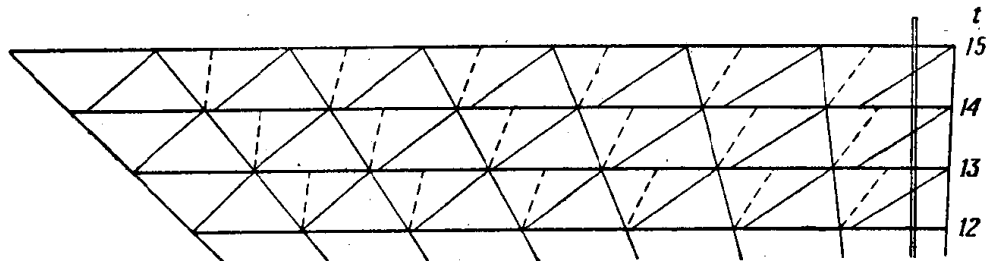
Кривые скоростей звука для  $t = 10$  (фиг. 5) показывают, что на искривленной части поверхности (3) должно возникать понижение давления по отношению к соответствующим точкам на поверхности (0). Оно объясняется тем, что вследствие кривизны поверхности газ не может достаточно хорошо ей следовать. Так как, грубо говоря, газ имеет склонность течь от мест с повышенным давлением к местам



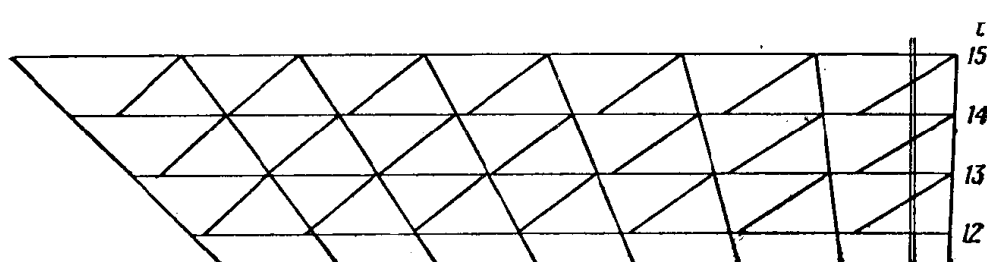
Фиг. 5. Пример 1. Поле скоростей  $\mathbf{v}_1$  ( $\rightarrow$ ) с линиями тока (-----) и линиями равных скоростей звука (изобарами) (—) при скачкообразном начальном перепаде давления. Приведенные числа относяны к скорости звука в сопле до начала движения.

с пониженным давлением, то в качестве следствия получается вращение векторов  $\mathbf{v}_1$  в направлении мест пониженного давления ( $t = 11, 12$ ). Поэтому линия тока (2) приближается к поверхности (3). При  $t = 11, 12, 13, 14$  наблюдается восполнение пониженного давления вдоль линии тока (3) до области повышенного давления, что и отображается сходящимися к (3) линиями тока. Вследствие повышенного давления в момент  $t = 15$  уже имеет место обратное движение. В промежуточные моменты в окрестности линии тока (1), вблизи которой линии тока расходятся

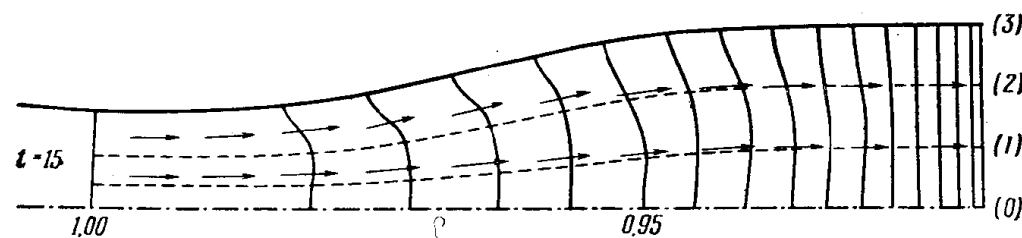
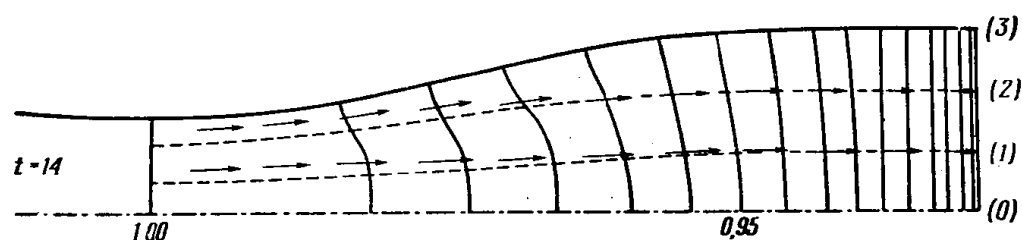
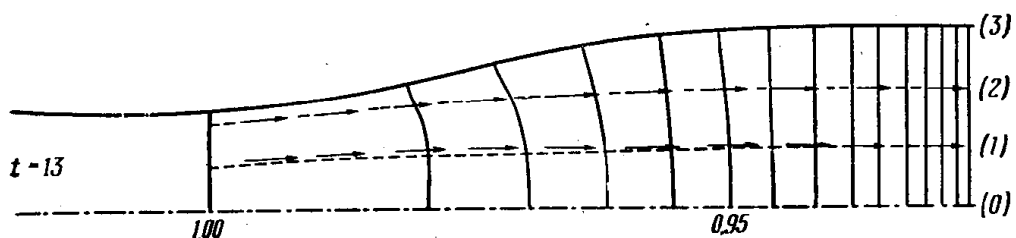
наиболее быстро, возникает новая область пониженного давления. Очевидно, здесь речь идет о некотором регулярном колебании между поверхностями (0) и (3). Нужно ожидать, что имеющиеся колебания



Фиг. 6а. Пример 1. Сетка характеристик вдоль отдельных линий тока (не интегрируемый случай).  
----- линии субстанционального дифференцирования.



Фиг. 6б. Пример 1. Сетка характеристик вдоль неподвижной линии тока (3) (стенка).



Фиг. 7. Пример 2. Поле скоростей  $\mathbf{u}_1$  ( $\rightarrow$ ) с линиями тока (-----) и линиями одинаковых скоростей звука (изобарами) (—) при непрерывном истечении.

в силу роста скоростей частиц потока будут еще больше усиливаться. В связи с этим интересно также поведение кривых скоростей звука (изобар), отмеченных 0,98–0,92 для  $t = 13, 14$  и  $15$ , которые при